



КОЭФФИЦИЕНТ ИНТЕНСИВНОСТИ НАПРЯЖЕНИЙ ДЛЯ ДВУСЛОЙНОЙ БАЛКИ С ДИФFUЗНЫМ СЛОЕМ ПРИ ТРЕХТОЧЕЧНОМ НАГРУЖЕНИИ*

Хвостунков К.А.

ФГБОУ ВО «Московский государственный университет им. М.В. Ломоносова»,
г. Москва, Россия

ФГБУН Институт структурной макрокинетики и проблем материаловедения
им. А.Г. Мерджанова, г. Черноголовка, Россия

АННОТАЦИЯ

Проблема получения новых слоистых композиционных материалов на основе керамика/интерметаллид с заданной регулярной структурой и улучшенными физико-механическими характеристиками решается на основе оптимизации пропорций толщин слоев в рамках технологии самораспространяющегося высокотемпературного синтеза – СВС-технологии. Рассматривается задача хрупкого разрушения двухслойной балки с разрезом в условиях трехточечного нагружения. Получена тарировочная функция для коэффициента интенсивности напряжений с учетом пропорции толщин и упругих свойств обоих слоев балки и промежуточного диффузного слоя.

Ключевые слова: прочность слоистого СВС композита; коэффициент интенсивности напряжений; двухслойный композит с диффузным слоем

STRESS INTENSITY COEFFICIENT FOR A TWO LAYER BEAM WITH A DIFFUSE LAYER UNDER THREE_POINT LOADING

Khvostuncov K.A.

Moscow state university, Moscow, Russia

*Merzhanov Institute of Structural Macrokinetics and Materials Science,
Chernogolovka, Russia*

ABSTRACT

The problem of obtaining new layered composite materials based on ceramics/intermetallide with a given regular structure and improved physical and mechanical characteristics is solved on the basis of optimization of layer thickness proportions within the technology of self-propagating high-temperature synthesis – SHS-technology. The problem of brittle fracture of a two-layer beam with a section under three-point loading is considered. A gauge function for the stress intensity factor is obtained taking into account the proportion of thicknesses and elastic properties of both layers of the beam and the intermediate diffuse layer.

* Исследование выполнено за счет гранта Российского научного фонда №22-19-00040, <https://rscf.ru/project/22-19-00040/>, а также при поддержке Междисциплинарной научно-образовательной школы Московского государственного университета «Фундаментальные и прикладные исследования космоса».

Keywords: strength of layered SHS composite; stress intensity coefficient; two-layer composite with diffuse layer

ВВЕДЕНИЕ

На сегодняшний день слоистые композиционные материалы на основе TiB/TiAl(Nb,Mo)В вызывают большой интерес. Данное направление исследований является актуальным с точки зрения получения готовых компактных слоистых пластин керамика/интерметаллид с заданной регулярной структурой и физико-механическими свойствами [1-5]. Определение влияния пропорций толщин слоев и их упругих свойств на перераспределение напряжений и, как следствие, на предельные нагрузки представляется важной задачей. Теоретическое исследование влияния рассматриваемых параметров проведено в данной работе и получен результат, необходимый для корректной трактовки будущих экспериментальных данных по разрушению образца прямоугольного сечения с боковым надрезом при трехточечном нагружении. Рассматриваемый тип материалов отличается хрупкий характер разрушения, высокая твердость и жесткость материала в целом и адгезионного слоя в частности.

1. ПОСТАНОВКА ЗАДАЧИ

Рассмотрим двухслойную балку из упругих материалов с разделяющим их тонким диффузным слоем. Направим ось x горизонтально вдоль оси балки, а y ортогонально оси x , вверх по высоте. Ось z направлена ортогонально плоскости xy по ширине балки L – расстояние между опорами при трехточечном нагружении, b – высота балки, a – ширина, $h-1/2\Delta$ – высота нижнего слоя, $b-h-1/2\Delta$ – высота верхнего слоя, Δ – толщина диффузного слоя. В нижнем слое по центру балки сделан пропил глубиной C с торцевой кривизной радиуса R и шириной разреза $2R$ (рис.1).

Требуется определить прочность материала и вычислить вязкость разрушения при заданной критической величине нагрузки P и исходных данных балки.

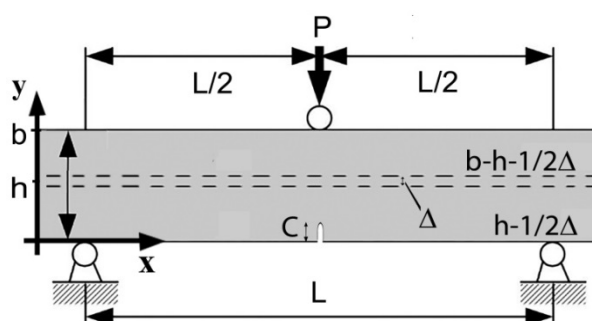


Рис.1.

2. МЕТОД РЕШЕНИЯ

Для определения напряженного состояния в окрестности выреза мы разделим задачу на две: первая – изгиб полосы без выреза, вторая – вырез в полосе без удаленной внешней нагрузки нагружен по поверхности напряжениями, равными напряжениям первой задачи.

2.1. Решение первой задачи.

Двуслойная балка со слоями из упругих изотропных материалов находится в условиях трехточечного нагружения. Рассмотрение ведется с учетом гипотезы плоских сечений. Для выбранной системы координат имеем распределение упругих напряжений по сечению, ортогональному нейтральной оси, координата которой y_0 , $E(y)$ – модуль Юнга, $\kappa(x)$ – кривизна нейтральной оси. Изменением напряжений по координате z пренебрегаем. В результате получается $\sigma^{(1)}(x, y) = \kappa(x)E(y)(y_0 - y)$, где

$$E(y) = \begin{cases} E_1, & y \in [0, h - 1/2\Delta] \\ \frac{(E_2 + E_1)}{2} + (E_2 - E_1)\frac{(y-h)}{\Delta}, & y \in \left[h - \frac{1}{2}\Delta, h + \frac{1}{2}\Delta\right] \\ E_2, & y \in (h + 1/2\Delta, b] \end{cases} \quad (1)$$

Запишем уравнения равновесия в силах и моментах

$$\begin{cases} \int_0^b \sigma^{(1)}(x, y) dy = 0, \\ a \int_0^b \sigma^{(1)}(x, y)(y_0 - y) dy = M(x), \end{cases} \quad M(x) = \begin{cases} \frac{P}{2}x, & x \in [0, L/2] \\ \frac{P}{2}(L-x), & x \in [L/2, L] \end{cases}$$

Введем безразмерные координаты и параметры

$$\chi = \frac{x}{L}, \quad \psi = \frac{y}{b}, \quad \xi = \frac{y_0}{b}, \quad \delta = \frac{\Delta}{b}, \quad \eta = \frac{h}{b}, \quad \gamma = \frac{E_1}{E_2}, \quad l = \frac{L}{b}, \quad p = \frac{P}{2E_2ab}.$$

Запишем систему уравнений равновесия сил и моментов для $\chi \in [0, 1/2]$

$$\begin{aligned} & \int_0^{\eta-1/2\delta} \gamma(\xi - \psi) d\psi + \int_{\eta-1/2\delta}^{\eta+1/2\delta} \frac{2(1-\gamma)(\psi - \eta) + (1+\gamma)\delta}{2\delta} (\xi - \psi) d\psi + \\ & + \int_{\eta+1/2\delta}^1 (\xi - \psi) d\psi = 0 \\ & \int_0^{\eta-1/2\delta} \gamma(\xi - \psi)^2 d\psi + \int_{\eta-1/2\delta}^{\eta+1/2\delta} \frac{2(1-\gamma)(\psi - \eta) + (1+\gamma)\delta}{2\delta} (\xi - \psi)^2 d\psi + \\ & + \int_{\eta+1/2\delta}^1 (\xi - \psi)^2 d\psi = \frac{pl\chi}{\kappa(\chi)} \end{aligned}$$

Из уравнения равновесия сил получаем координату нейтральной оси

$$\xi = \xi(\gamma, \eta, \delta) = \frac{1}{2} \frac{1 + \eta^2(\gamma - 1)}{1 + \eta(\gamma - 1)} + \frac{1}{24} \delta^2 \frac{(\gamma - 1)}{1 + \eta(\gamma - 1)}. \quad (2)$$

Из уравнения равновесия моментов выражаем кривизну

$$\begin{aligned} \kappa(\chi) = \frac{pl}{\mu} \chi, \quad \mu = & \frac{1}{12} \frac{\left((\gamma - 1)(\gamma\eta^4 - (\eta - 1)^4) + \gamma\right)}{(1 + \eta(\gamma - 1))} + \\ & + \frac{\delta^2(\gamma - 1)(\gamma\eta^2 - (\eta - 1)^2)}{8(1 + \eta(\gamma - 1))} - \frac{5\delta^4}{576} \frac{(\gamma - 1)^2}{(1 + \eta(\gamma - 1))}. \end{aligned} \quad (3)$$

Подставляя (2) в (1), получаем для $\chi \in [0, 1/2]$

$$\sigma^{(1)}(\chi, \psi) = \begin{cases} E_2 \kappa(\chi) \gamma (\xi - \psi), & \psi \in [0, \eta - 1/2 \delta] \\ E_2 \kappa(\chi) \left[\frac{(1+\gamma)}{2} + (\gamma-1) \frac{(\psi - \eta)}{\delta} \right] (\xi - \psi), & \psi \in [\eta - 1/2 \delta, \eta + 1/2 \delta] \\ E_2 \kappa(\chi) (\xi - \psi), & \psi \in (\eta + 1/2 \delta, 1] \end{cases}$$

Диффузный слой устраняет разрыв в продольных напряжениях, равный при его нулевой толщине $pl(\xi - \eta)\chi(1 - \gamma)/\mu$, см. рис.2.

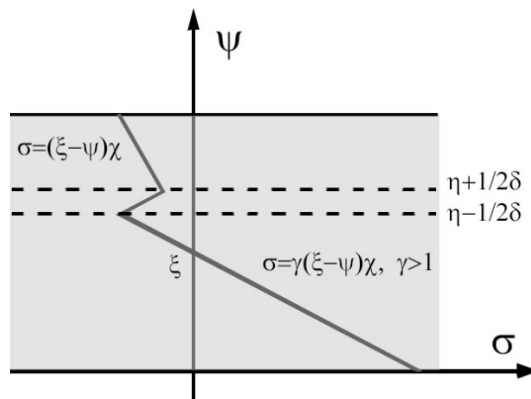


Рис.2.

Максимум растягивающих напряжений будет достигнут на нижнем крае, при $\psi = 0, \chi = 1/2$

$$\sigma_{\max}^{(1)}(\gamma, \eta) = \frac{1}{2} \frac{lp}{\mu_0} \gamma \xi(\gamma, \eta, \delta) = \frac{1}{4} \frac{lp}{\mu_0} \gamma \left(\frac{1 + \eta^2 (\gamma - 1)}{1 + \eta (\gamma - 1)} + \frac{1}{12} \delta^2 \frac{(\gamma - 1)}{1 + \eta (\gamma - 1)} \right). \quad (4)$$

Из условия равенства нулю производной напряжения на краю по η (пропорции толщин слоев) при постоянной γ (отношения модулей Юнга слоев) получаем условия экстремума по η , и с учетом ограничения $\eta \in [0, 1]$ получаем координаты локальных экстремумов для величины растягивающего напряжения на нижнем крае балки, см. рис.3.

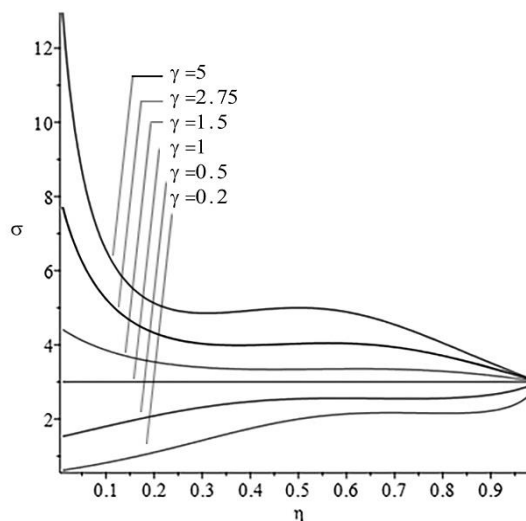


Рис.3.

Для $0 < \gamma < 1$: локальный максимум $\eta_1 = (1 + \sqrt{\gamma})^{-1}$, локальный минимум $\eta_2 = \left[\sqrt{3} \cos \left(\frac{1}{3} \arctan \left(\frac{\sqrt{\gamma}}{\sqrt{1-\gamma}} \right) + \frac{\pi}{6} \right) - \sin \left(\frac{1}{3} \arctan \left(\frac{\sqrt{\gamma}}{\sqrt{1-\gamma}} \right) + \frac{\pi}{6} \right) \right] (1-\gamma)^{-1/2}$.

Для $\gamma > 1$: локальный минимум $\eta_1 = 1 + \sqrt{\gamma}$, локальный максимум $\eta_3 = \left(1 + \sqrt{\gamma/(\gamma-1)} \right)^{1/3} (\gamma-1)^{-1/3} - \left(1 + \sqrt{\gamma/(\gamma-1)} \right)^{1/3} (\gamma-1)^{-2/3}$.

При существенной малости толщины диффузионного слоя ($\delta \ll 10^{-6}$) [5] мы в дальнейших выкладках пренебрежем им и будем использовать следующие равенства

$$\xi = \frac{1}{2} \frac{1 + \eta^2 (\gamma - 1)}{1 + \eta \gamma - 1}, \quad \kappa(\chi) = \frac{pl}{\mu} \chi, \quad \mu = \frac{1}{12} \frac{(\gamma + (\gamma - 1)(\gamma \eta^4 - (\eta - 1)^4))}{(1 + \eta(\gamma - 1))}. \quad (5)$$

2.2. Решение второй задачи.

Ограничимся случаем, когда вырез полностью находится в нижнем слое. Поверхность бокового надреза глубины C нижнего слоя балки нагружена растягивающими вдоль оси балки напряжениями.

Решение второй задачи мы будем проводить аналогично [7], но в наших обозначениях и с учетом вида поля напряжений в двуслойной балке, где $c = C/b$

$$\sigma^{(2)}(0, \psi) = \frac{2}{\pi} \psi \int_0^c \frac{\sigma^{(1)}(0, t) \sqrt{c^2 - t^2}}{\sqrt{\psi^2 - c^2} (\psi^2 - t^2)} dt, \quad \psi > c.$$

Подставляем значения поля напряжений из первой задачи и получаем

$$\sigma^{(1)}(1/2, \psi) = \frac{pl\gamma}{2\mu_0} (\xi - \psi),$$

$$\sigma^{(2)}(1/2, \psi) = \frac{pl\gamma}{2\mu_0} (\xi - \psi) \left(\frac{\psi}{\sqrt{\psi^2 - c^2}} - 2 \right).$$

Получим напряжения вне трещины

$$\sigma(1/2, \psi) = \sigma^{(1)}(1/2, \psi) + \sigma^{(2)}(1/2, \psi) = \frac{pl\gamma}{2\mu} (\xi - \psi) \left(\frac{\psi}{\sqrt{\psi^2 - c^2}} - 1 \right).$$

При приближении со стороны нейтральной оси к кончику трещины мы, вводя замены $S = ab$, $\rho = b(\psi - c)$, будем иметь

$$\sigma(0, \rho) = \frac{K_I}{\sqrt{2\pi\rho}}, \quad K_I = \frac{P}{S} \sqrt{\pi C Y}, \quad Y = \frac{l\gamma(\xi - c)}{4\mu}. \quad (6)$$

3. ОБСУЖДЕНИЕ И ВЫВОДЫ

В случае однослойной балки $\delta = 0$, $\eta = 1$, $\gamma = 1$ из (2) следует, что положение нейтральной оси $\xi = 1/2$, а соотношение кривизны, момента и жесткости будет классическим для прямоугольного поперечного сечения.

Тарировочная функция Y из (6) будет иметь вид $Y_1 = 12(1 - 2c)$, который мы сравним с $Y_2 = 12(1.107 - 2.12c + 7.71c^2 - 13.55c^3 + 14.25c^4)$ – классическим выражением из [8].

На рис.4. показана зависимость отношения тарировочных функций для диапазона глубины надреза $c < 0.1$, то есть не более 10% от толщины балки. Отличие нарастает при увеличении глубины надреза от 10% до 20%.

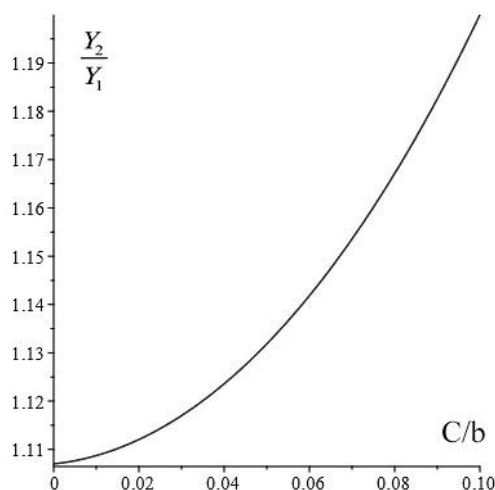


Рис.4.

Для гладкого двуслойного композита получены зависимости (4) максимального растягивающего напряжения от пропорций толщин и модулей упругости слоев и определены локальные экстремумы.

Для балки с боковым надрезом получена тарировочная функция, учитывающая соотношение толщин и модулей Юнга слоев. Данные результаты приведены для дальнейшего использования в анализе экспериментальных данных по разрушению при трехточечной схеме нагружения двуслойных образцов, в частности, полученных методом самораспространяющегося высокотемпературного синтеза.

ЛИТЕРАТУРА

1. Bazhin P.M., Konstantinov A.S., Chizhikov A.P., Pazniak A.I., Kostitsyna E.V., Prokopets A.D., Stolin A.M. *Laminated cermet composite materials: The main production methods, structural features and properties (review)* / Ceramics International. – 2021. – Vol.47. – Iss.2. – Pp.1513-1525.
2. Bazhina A., Konstantinov A., Chizhikov A., Bazhin P., Stolin A., Avdeeva V. *Structure and mechanical characteristics of a layered composite material based on TiB/TiAl/Ti* // Ceramics International. – 2022. – Vol.48. – Iss.10. – Pp.14295-14300.
3. Prokopets A.D., Bazhin P.M., Konstantinov A.S., Chizhikov A.P., Antipov M.S., Avdeeva V.V. *Structural features of layered composite material TiB₂/TiAl/Ti₆Al₄V obtained by unrestricted SHS-compression* // Materials Letters. – 2021. – 130165.
4. Прокопец А.Д., Константинов А.С., Чижиков А.П., Бажин П.М., Столин А.М. *Закономерности формирования структуры градиентных композиционных материалов на основе МАХ-фазы Ti₃AlC₂ на титане* // Неорганические материалы. – 2020. – Т.56. – №10. – С.1145-1150.

5. Бажин П.М., Столин А.М., Константинов А.С., Чижиков А.П., Прокопец А.Д., Алымов М.И. *Особенности строения слоистых композиционных материалов на основе боридов титана, полученных методом свободного СВС-сжатия* // Доклады академии наук. – 2019. – Т.488. – №3. – С.263-266.
6. Мусхелишвили Н.И. *Некоторые основные задачи математической теории упругости*. – М.: Наука, 1966. – 708 с.
7. Панасюк В.В., Андрейкив А.Е., Ковчик С.Е. *Методы оценки трещиностойкости конструкционных материалов*. – Киев: Наукова думка, 1977. – 279 с.
8. Мураками Ю. *Справочник по коэффициентам интенсивности напряжений*. – М.: Мир, 1990. – 448 с.

REFERENCES

1. Bazhin P.M., Konstantinov A.S., Chizhikov A.P., Pazniak A.I., Kostitsyna E.V., Prokopets A.D., Stolin A.M. *Laminated cermet composite materials: The main production methods, structural features and properties (review)*. Ceramics International, 2021, Vol.47, Iss.2, Pp.1513-1525.
2. Bazhina A., Konstantinov A., Chizhikov A., Bazhin P., Stolin A., Avdeeva V. *Structure and mechanical characteristics of a layered composite material based on TiB/TiAl/Ti*. Ceramics International, 2022, Vol.48, Iss.10, Pp.14295-14300.
3. Prokopets A.D., Bazhin P.M., Konstantinov A.S., Chizhikov A.P., Antipov M.S., Avdeeva V.V. *Structural features of layered composite material TiB₂/TiAl/Ti₆Al₄V obtained by unrestricted SHS-compression*. Materials Letters, 2021, 130165.
4. Prokopec A.D., Konstantinov A.S., Chizhikov A.P., Bazhin P.M., Stolin A.M. *Zakonomernosti formirovaniya struktury gradientnykh kompozitsionnykh materialov na osnove MAX-fazy Ti₃AlC₂ na titane [Regularities of the formation of the structure of gradient composite materials based on the MAX-phase Ti₃AlC₂ on titanium]*. Neorganicheskie materialy, 2020, Vol.56, No.10, Pp.1145-1150.
5. Bazhin P.M., Stolin A.M., Konstantinov A.S., Chizhikov A.P., Prokopec A.D., Alymov M.I. *Osobennosti stroeniya sloistykh kompozitsionnykh materialov na osnove boridov titana, poluchennykh metodom svobodnogo SVS-szhatiya [Structural features of layered composite materials based on titanium borides obtained by free SHS compression]*. Doklady akademii nauk, 2019, Vol.488, No.3, Pp.263-266.
6. Muskhelishvili N.I. *Nekotorye osnovnye zadachi matematicheskoy teorii uprugosti [Some basic problems of the mathematical theory of elasticity]*. Moskva, Nauka, 1966, 708 p.
7. Panasyuk V.V., Andrejkiv A.E., Kovchik S.E. *Metody otsenki treshhinostojkosti konstruktsionnykh materialov [Methods for assessing the crack resistance of structural materials]*. Kiev, Naukova dumka, 1977, 279 p.
8. Murakami Yu. *Spravochnik po koehffitsientam intensivnosti napryazhenij [Handbook of stress intensity coefficients]*. Moskva, Mir, 1990, 448 p.

Поступила в редакцию 25 октября 2022 года.

Сведения об авторе:

Хвостунков Кирилл Анатольевич – к.ф.-м.н., доц., Кафедра теории пластичности Механико-математического факультета МГУ, ФГБОУ ВО «Московский государственный университет им. М.В. Ломоносова», г. Москва, Россия; e-mail: khvostunkov@gmail.com